



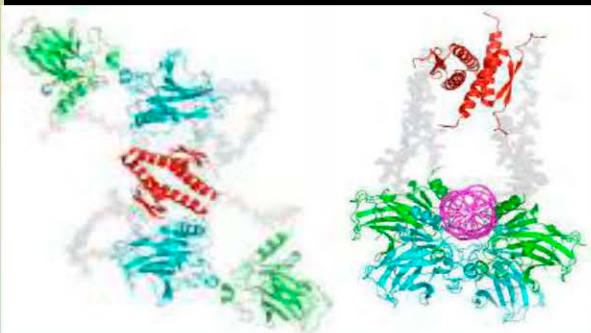
# Некоторые примеры решения задач определения формы (EMBL, станция X33)

65

## Complexes and assemblies

## Domain and quaternary structure

Tumor suppressor p53 and its complex with DNA



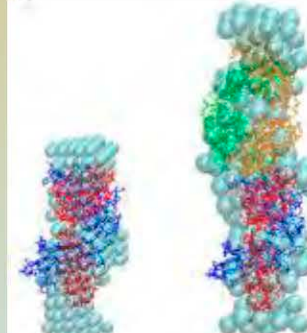
Tidow et al  
PNAS USA (2007)

Insulin fibrillation



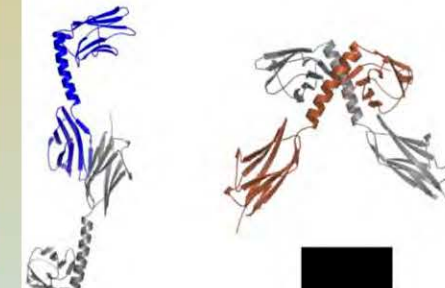
Vestergaard et al  
PLoS Biol (2007)

Fab-dye interactions



Hillig et al  
JMB (2008)

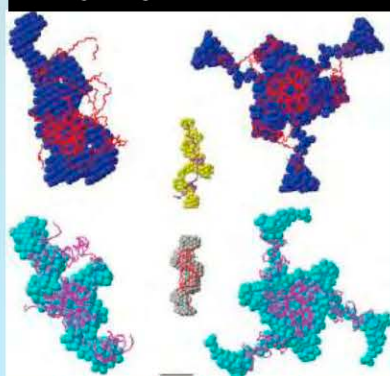
Myomesin-1 dimer



Pinotsis et al  
EMBO J (2008)

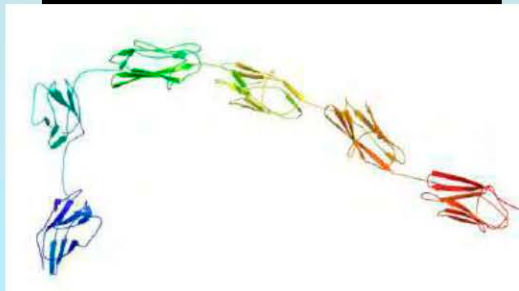
## Flexible loops and domains

(NC)-dUTPase



Németh-Pongrácz  
et al NAR (2007)

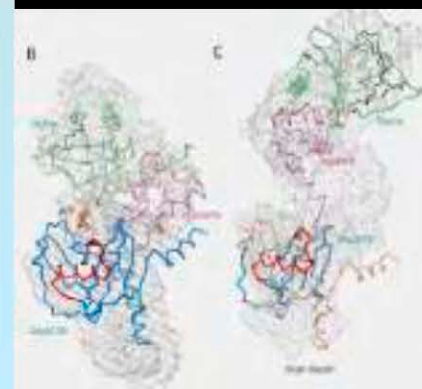
Ig super-motifs in titin



von Castelmur et al  
PNAS (2008)

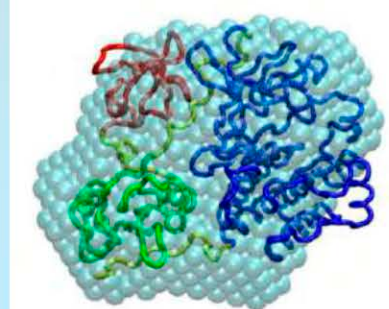
## Structural transitions

Dcp1/Dcp2 complex



She et al, Mol Cell (2008)

Src kinase

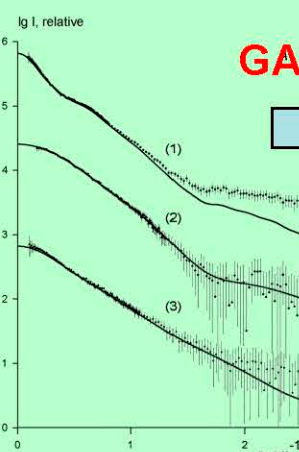


Bernardo et al  
JMB (2008)

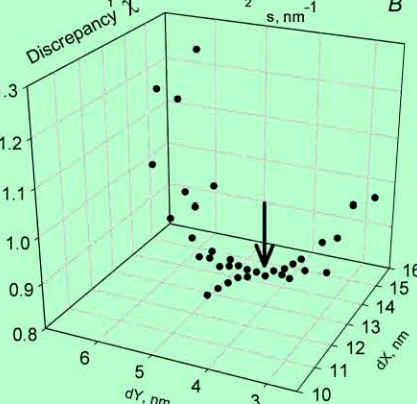
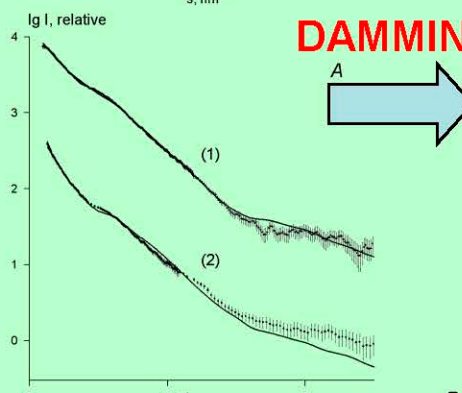
# Сочетание различных методов определения формы: структура вертексного комплекса бактериофага PRD1



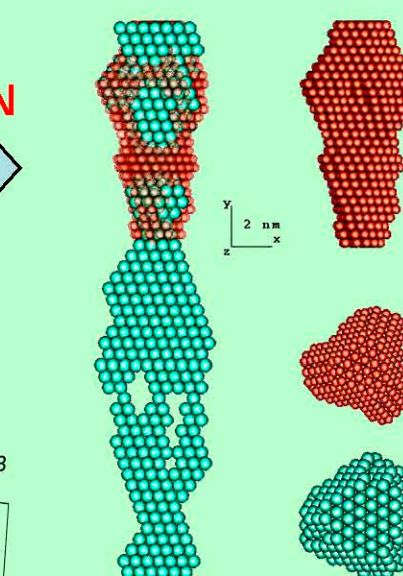
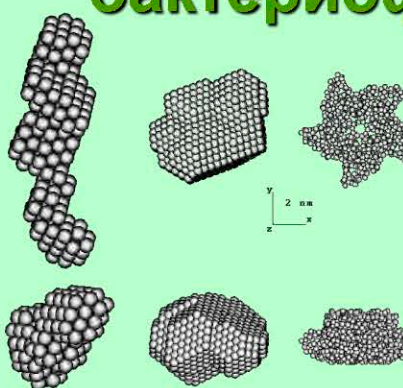
GASBOR



DAMMIN



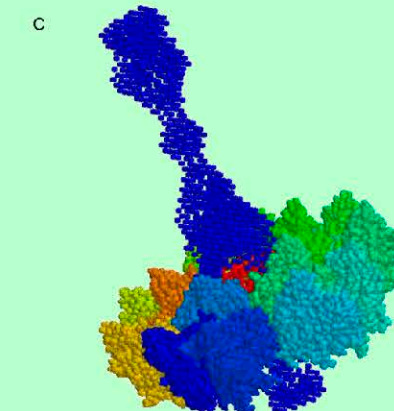
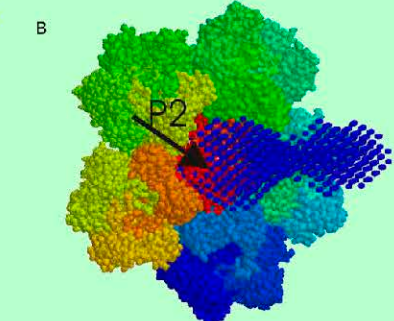
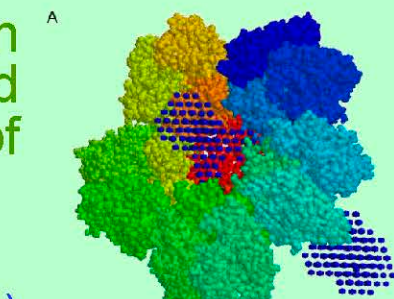
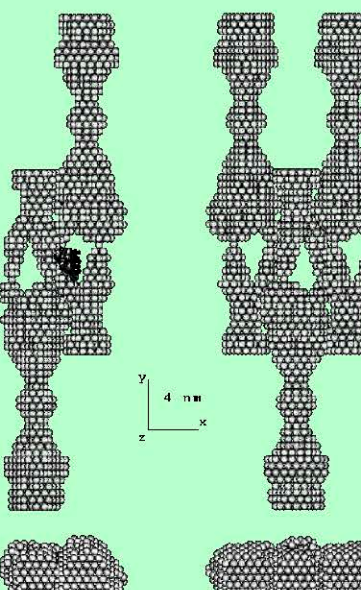
MASSHA  
OLIGOMER



PRD1 has an icosahedral capsid similar to that of adenovirus

Sokolova, A. et al. (2001)  
*J. Biol. Chem.* **276**,  
46187.

||| EM, Xtal, Hydro



# **Нейтронное рассеяние: вариация контраста**

# Варьирование контраста: рентгеновское рассеяние и рассеяние нейtronов

**Рентгеновские лучи:**  
влияние сахарозы или  
соли

РНК, 550 е/нм<sup>3</sup>

60% сахарозы, 430 е/нм<sup>3</sup>

белок, 410 е/нм<sup>3</sup>

H<sub>2</sub>O, 344 е/нм<sup>3</sup>

**Нейтроны:**  
изотопное замещение H/D

D-белки, "130%" D<sub>2</sub>O

D-РНК, "120%" D<sub>2</sub>O

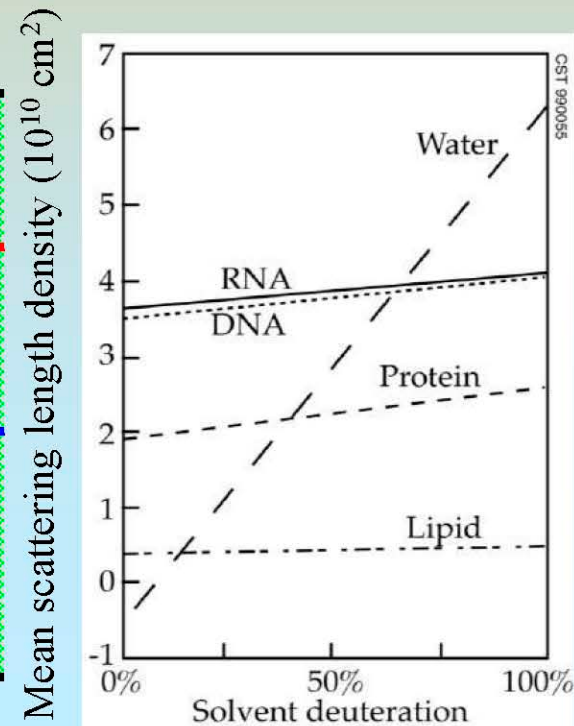
D<sub>2</sub>O,  $6.38 \times 10^{10}$  см<sup>-2</sup>

H-РНК, 70% D<sub>2</sub>O

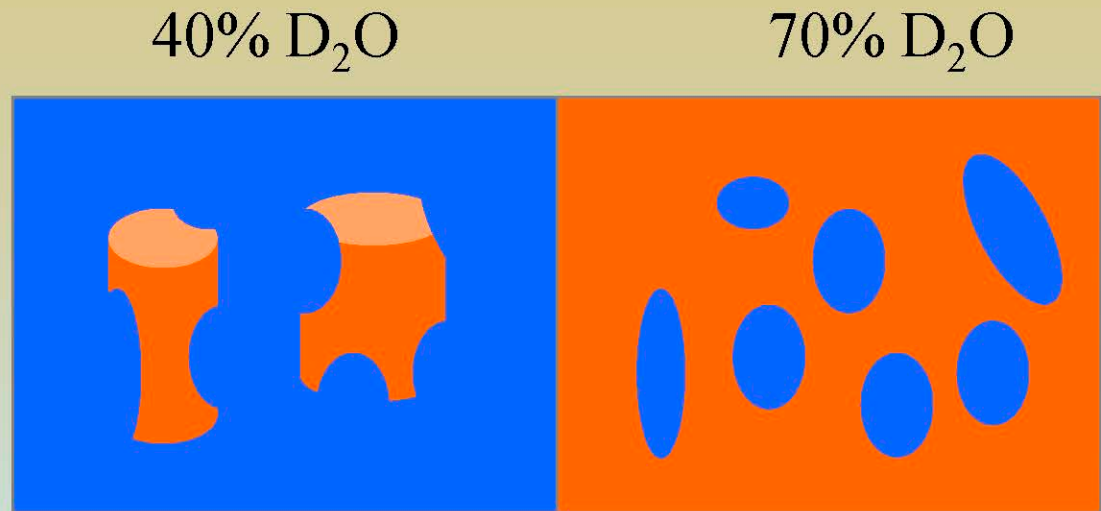
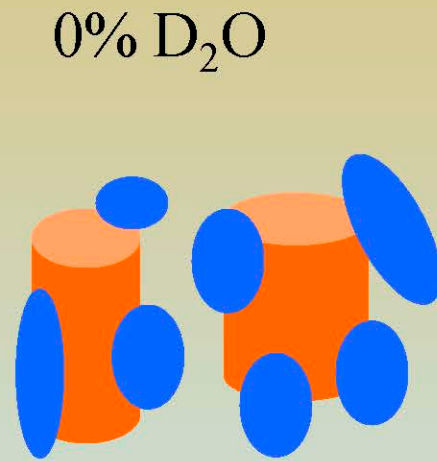
H-белки, 40% D<sub>2</sub>O

H<sub>2</sub>O,  $-0.59 \times 10^{10}$  см<sup>-2</sup>

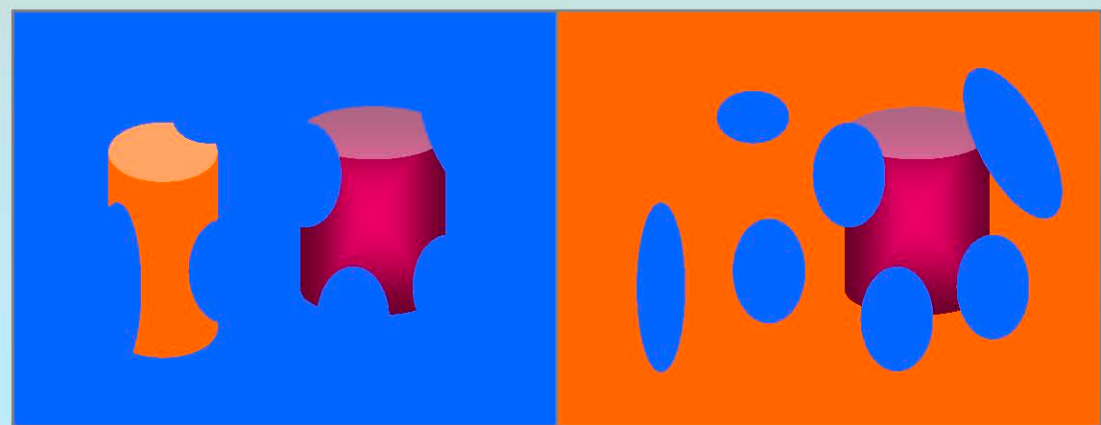
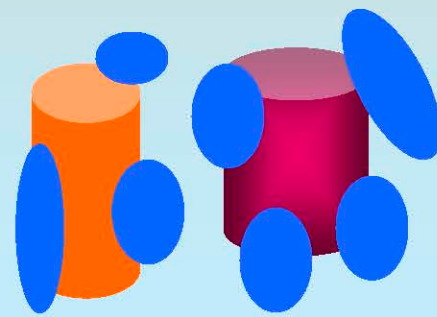
По вертикали  
показана  
рассеивающая  
способность  
в отн. ед.



# Нейтронное рассеяние от растворов рибосомы 70S: вариация контраста путем частичного дейтерирования



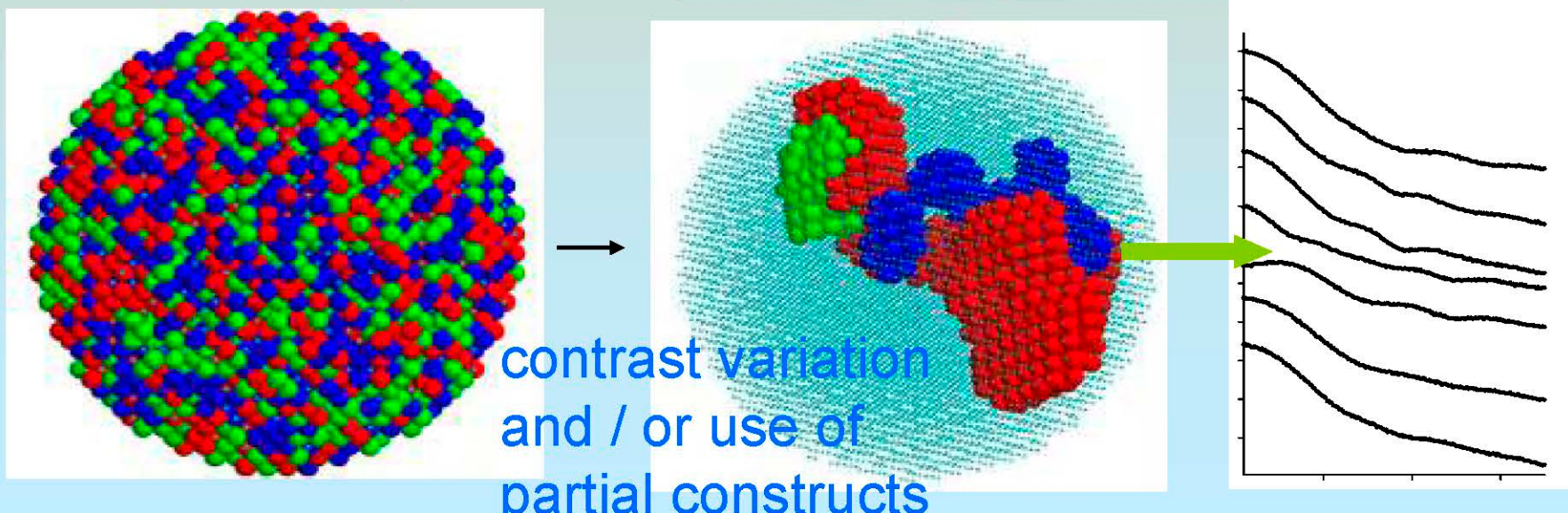
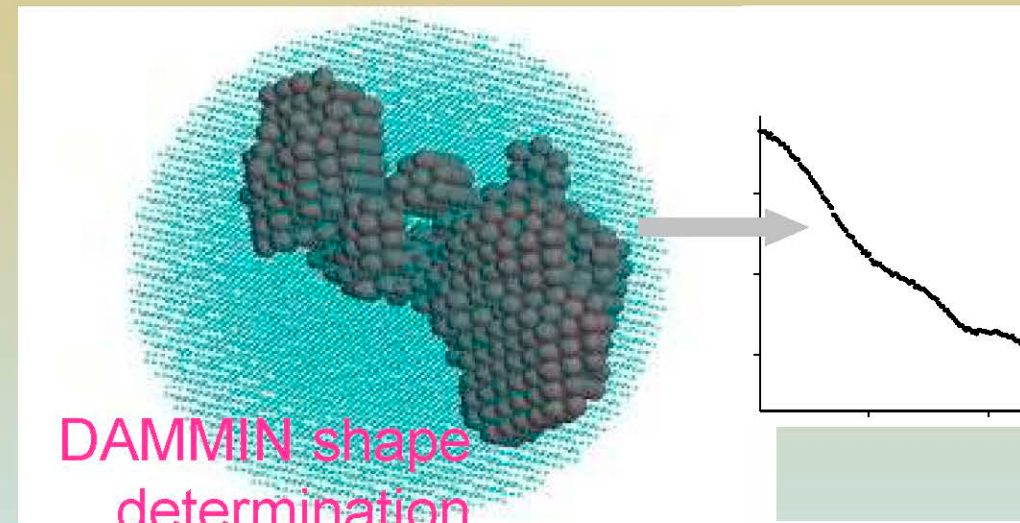
Protonated 70S ribosome, HH30+HH50



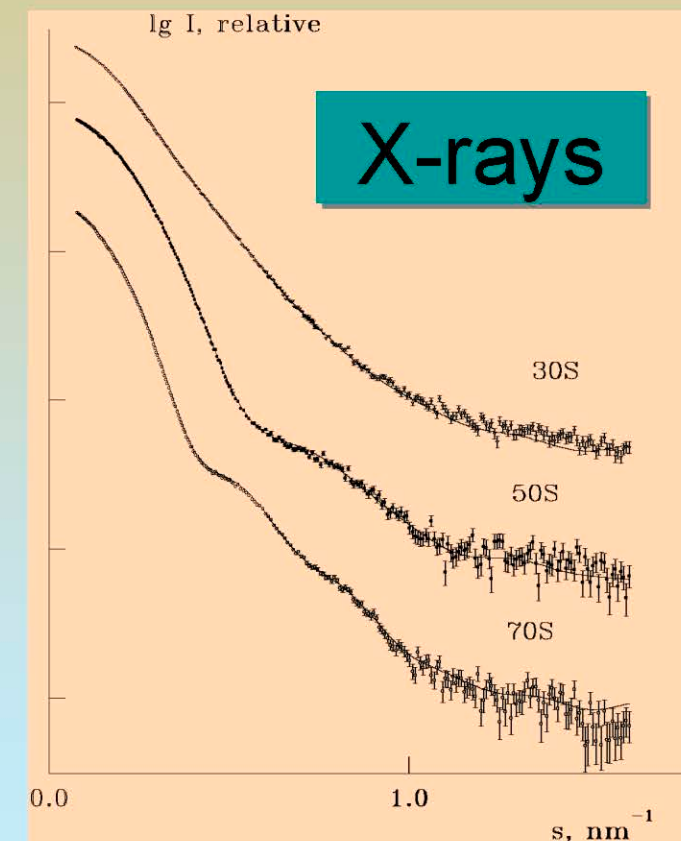
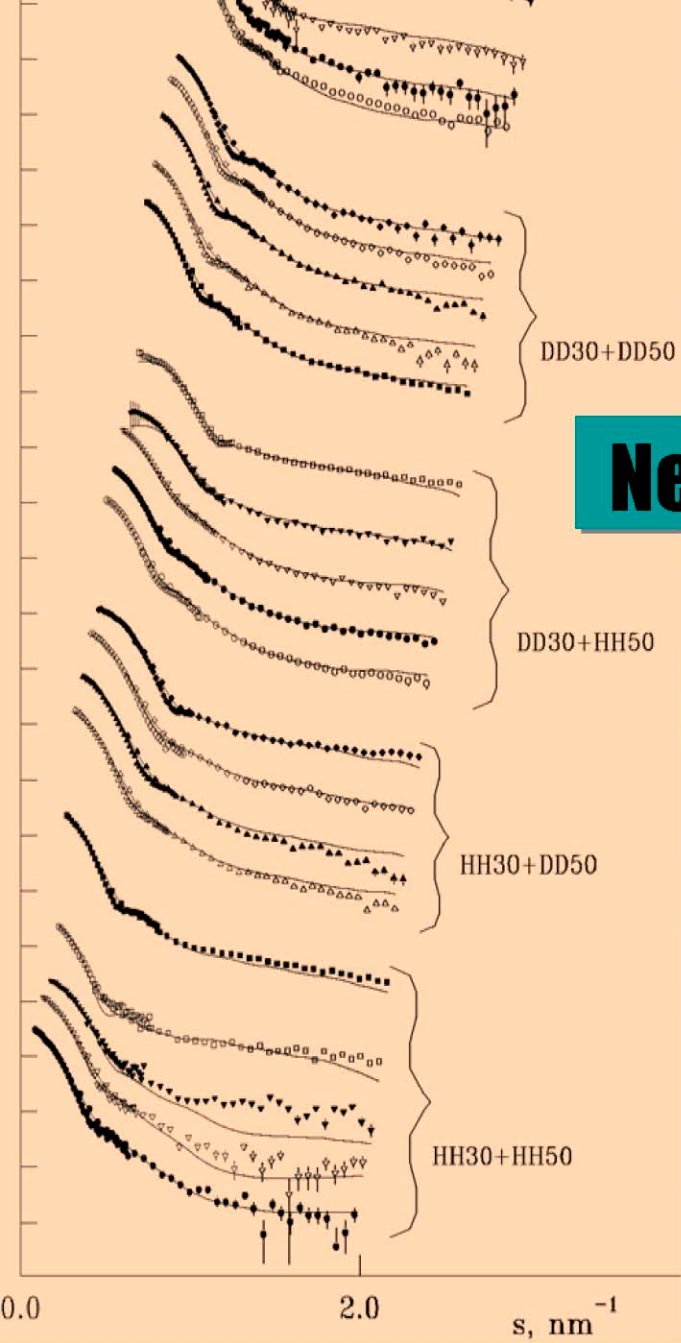
Hybrid 70S with 23S RNA deuterated, HH30+HD50

# MONSA (многофазное моделирование)

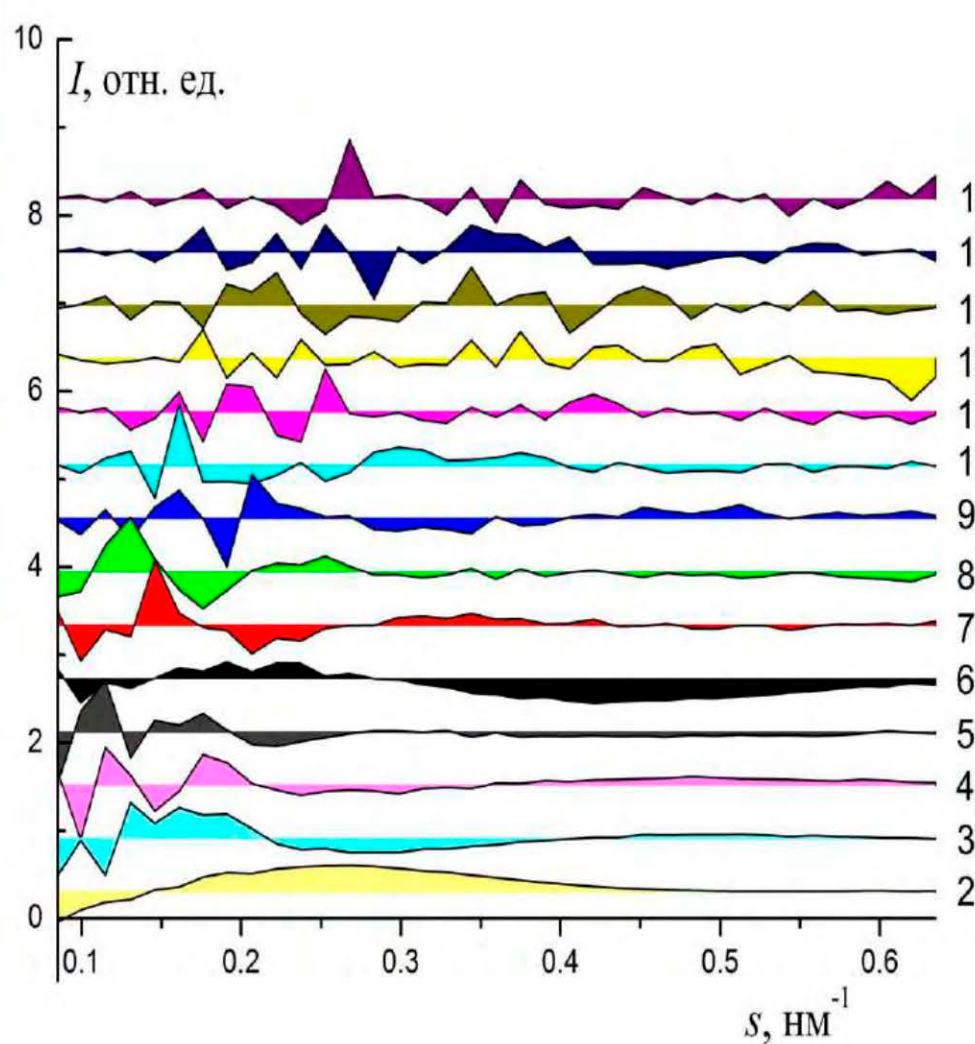
- 1 phase = 1 component of a complex particle
- For each phase,  $R_g$ ,  $V$  / and or its scattering curve can be given
- For each curve, contrast of each phase are specified



# Данные малоуглового рассеяния от образцов рибосомы 70S *E.coli*



# Оценка числа компонентов в матрице данных рассеяния по левым сингулярным векторам



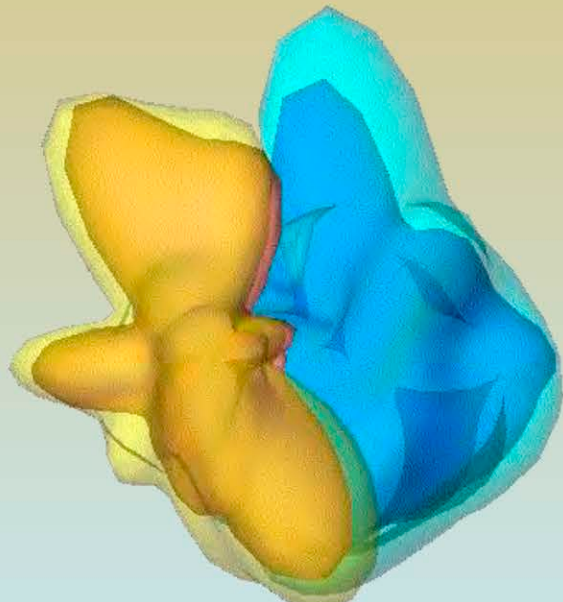
Первые 15 сингулярных векторов матрицы данных нейтронного рассеяния, представленные в виде контуров относительно вектора рассеяния.

Из рисунка видно, что систематическое поведение контуров заметно до 10 вектора включительно.

Критерий Дарбина-Ватсона наличия автокорреляции в матрице остатков  $F^0$  после учета первых 10 компонентов в кривых рассеяния был  $1.7 > 1.5$ , что говорит о приемлемости оценки числа базисных функций и о числе компонентов рибосомы = 4

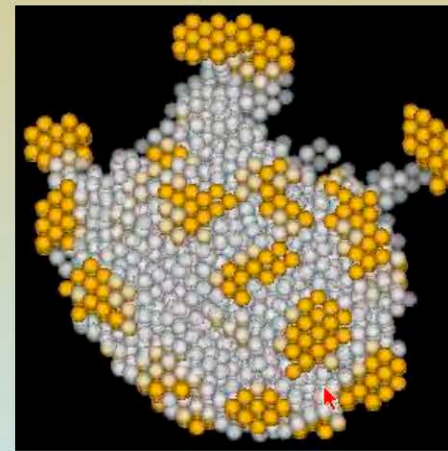
$$F^0 = D - D^0, \quad D^0 = U_{j=1,..K} \cdot \Lambda \cdot V_{j=1,..K}^T$$

# Структура рибосомы 70S *E.coli* в растворе по данным рентгеноского и нейтронного малоуглового рассеяния

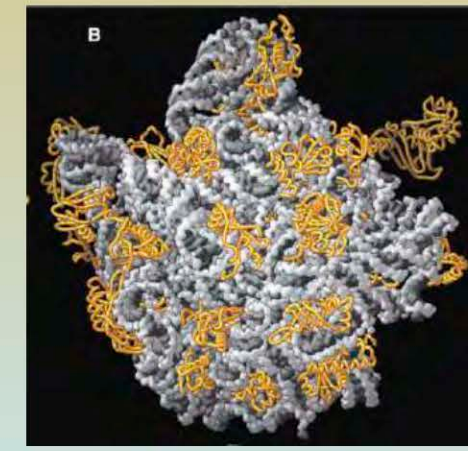


10 nm

D.I.Svergun, N.Burkhardt,  
J.Skov Pedersen, M.H.J.  
Koch, V.V.Volkov,  
M.B.Kozin, et al. J. Mol.  
Biol. (1997), 271, 588-601

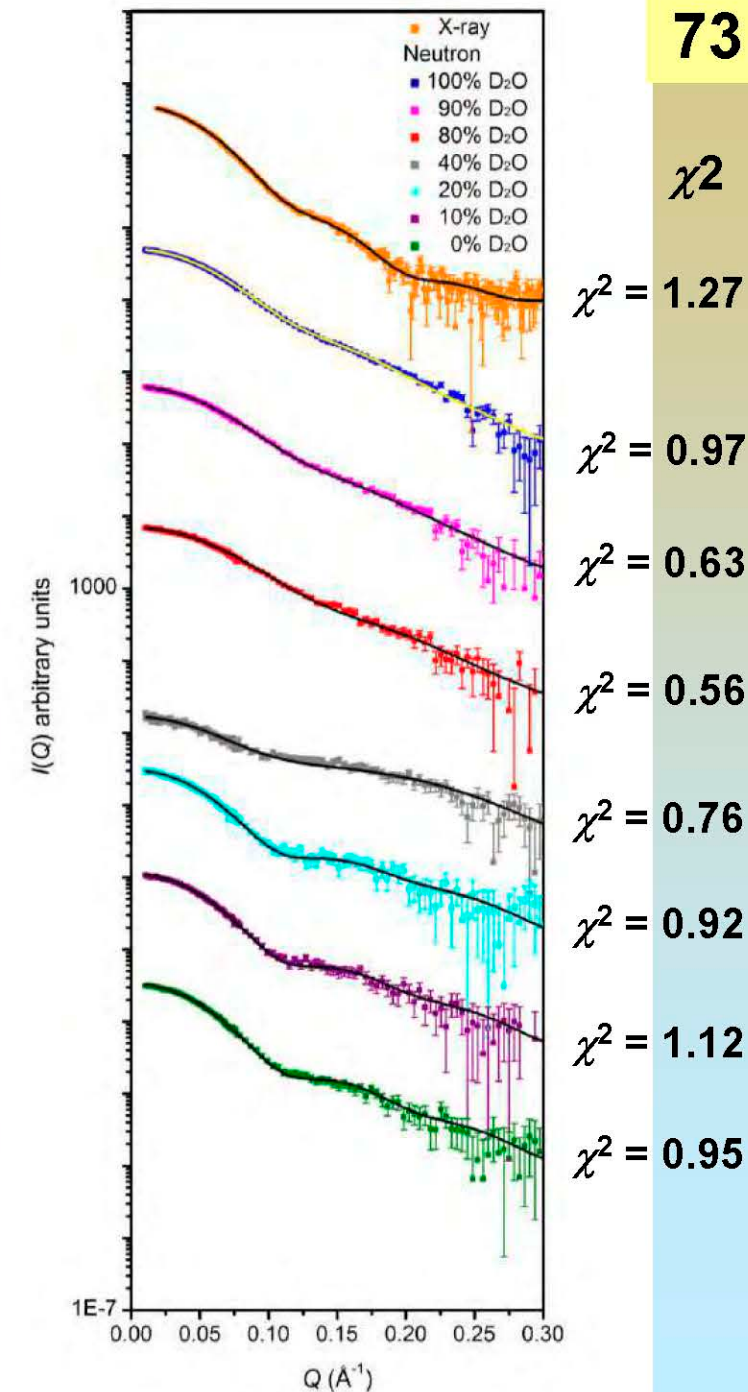
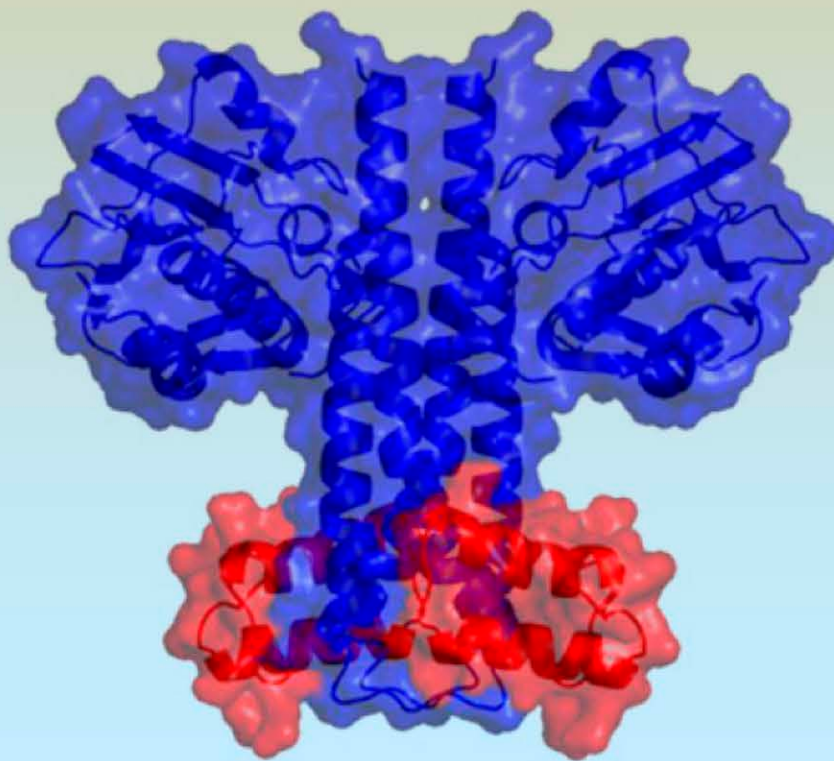


Шариковая модель  
субъединицы 50S  
рибосомы 70S *E.coli*  
с разрешением 1 nm  
по данным МУР  
(Svergun & Nierhaus,  
May 2000)



Для сравнения:  
криスタллическая  
модель  
субъединицы 50S  
*H.marismortui*  
(Steitz group,  
August 2000)

**SASREF7: «rigid body refinement» набора компонентов с известной кристаллической структурой: нейтронное рассеяние + дейтериование.**



# Data analysis software ATSAS 2.6.0

<http://www.embl-hamburg.de/biosaxs/software.html>

A program suite for small-angle scattering data analysis from biological macromolecules

## Data processing

- PRIMUS - manipulations with experimental 1D SAS data
- GNOM - indirect transform program that evaluates the particle distance distribution function p(r)
- Data manipulation and analysis tools - AUTORG, ALMERGE, DATGNOM, DATPOROD etc.

## Ab initio methods

- DAMMIN - ab initio shape determination using a dummy atom model
- DAMMIF - rapid shape determination
- GASBOR - reconstruction of a protein structure by a chain-like ensemble of dummy residues
- MONSA - shape determination using a multiphase dummy atom model

## Rigid body modelling

- SASREF - modelling of multisubunit complexes
- BUNCH - modelling of multidomain proteins against multiple data sets
- CORAL - modelling of multidomain protein complexes against multiple data sets
- MASSHA - interactive modelling of atomic structures and shape analysis
- GLOBSYMM - rigid body modelling of symmetric oligomers

## Mixtures and flexible systems

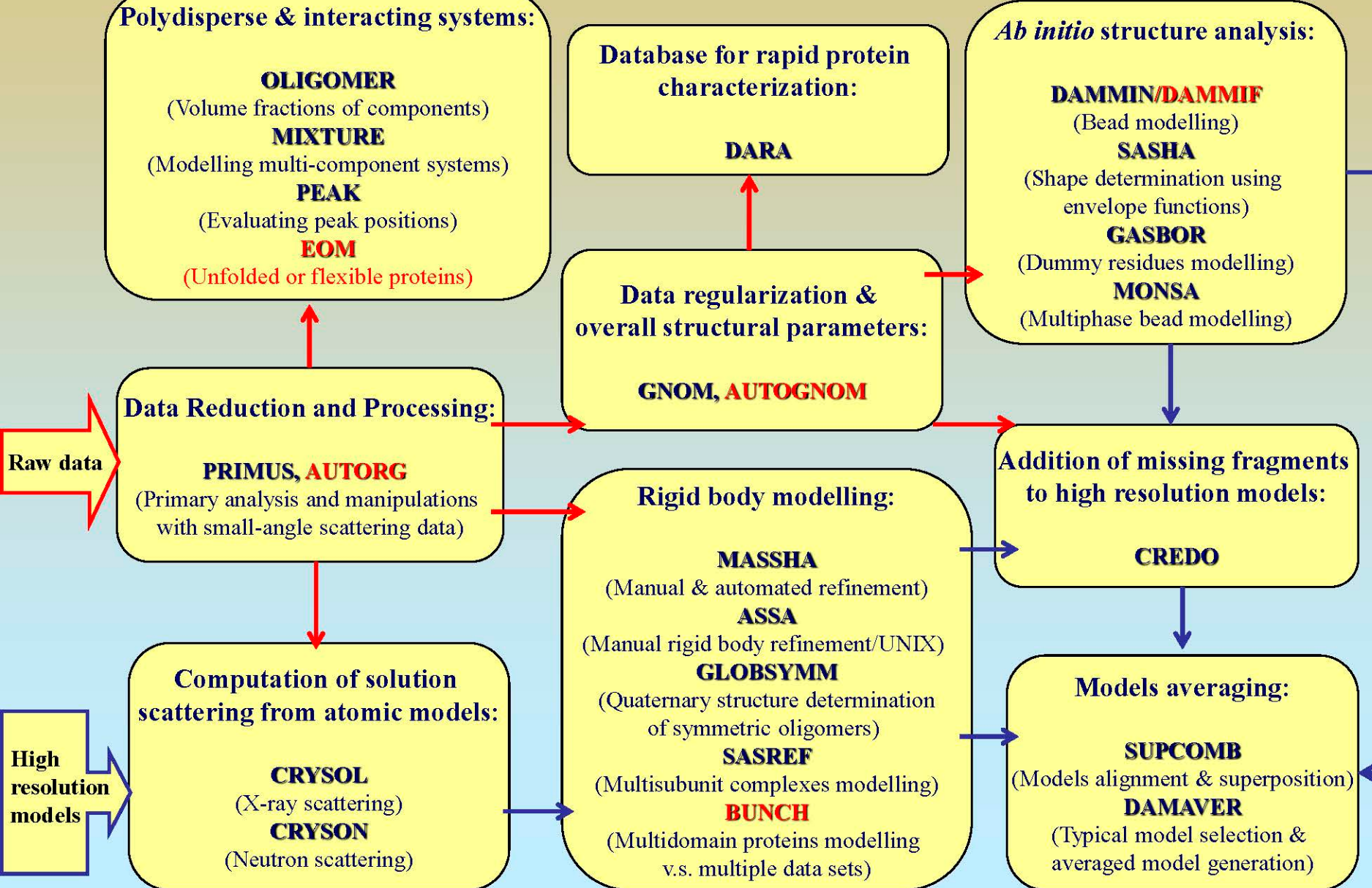
- OLIGOMER - volume fractions of mixtures with known scattering intensities from the components
- MIXTURE - modelling of multicomponent systems
- BUNCH - modelling of multidomain proteins against multiple data sets
- EOM - Ensemble Optimization Method for flexible proteins

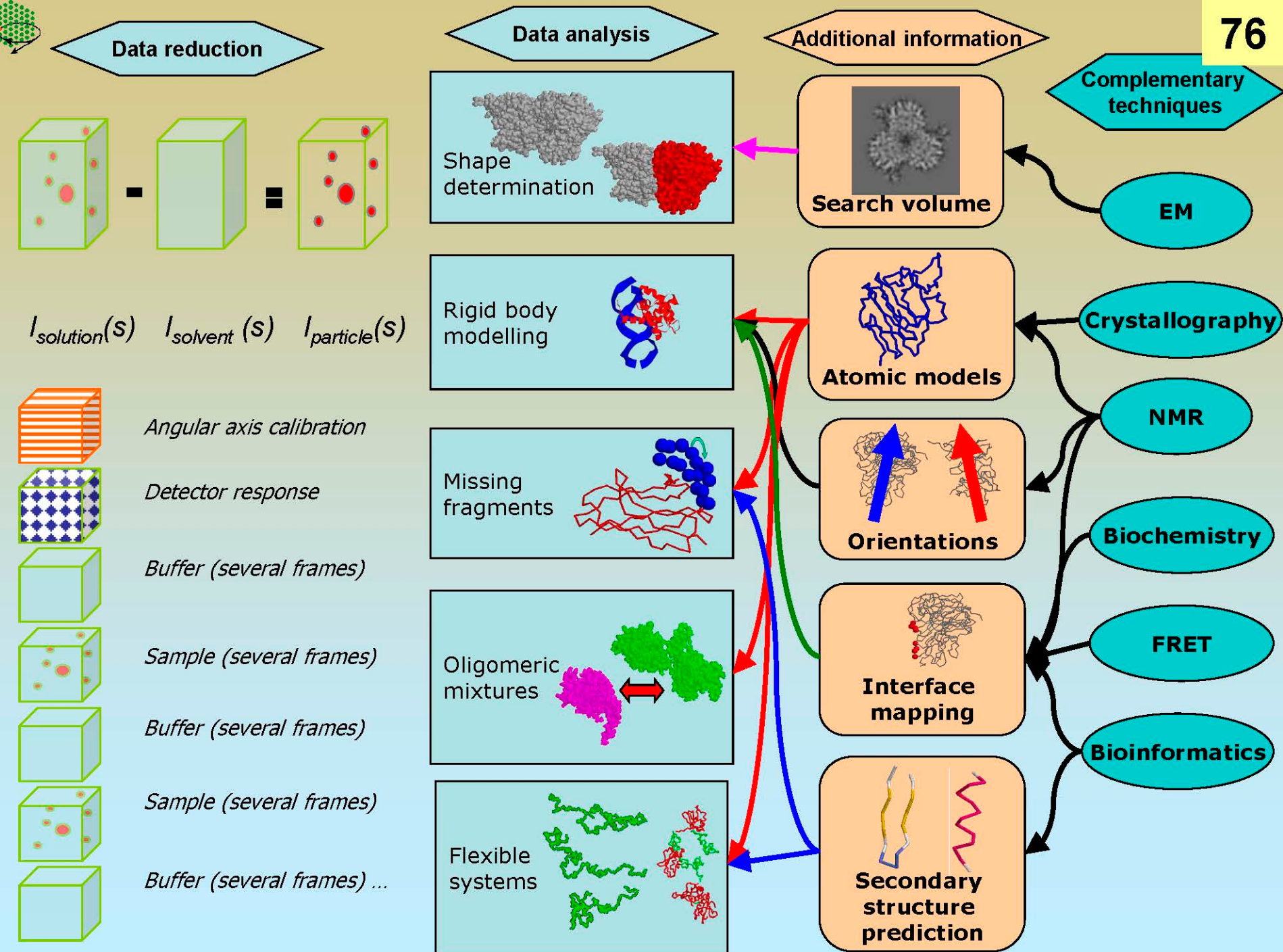
## PDB oriented tools

- CRYSTAL - X-ray scattering patterns from known hi-res structures
- CRYSON - neutron scattering patterns from known hi-res structures
- SUPCOMB - superimposes one 3D structure onto another
- DAMAVER - align ab initio models, select the most typical one

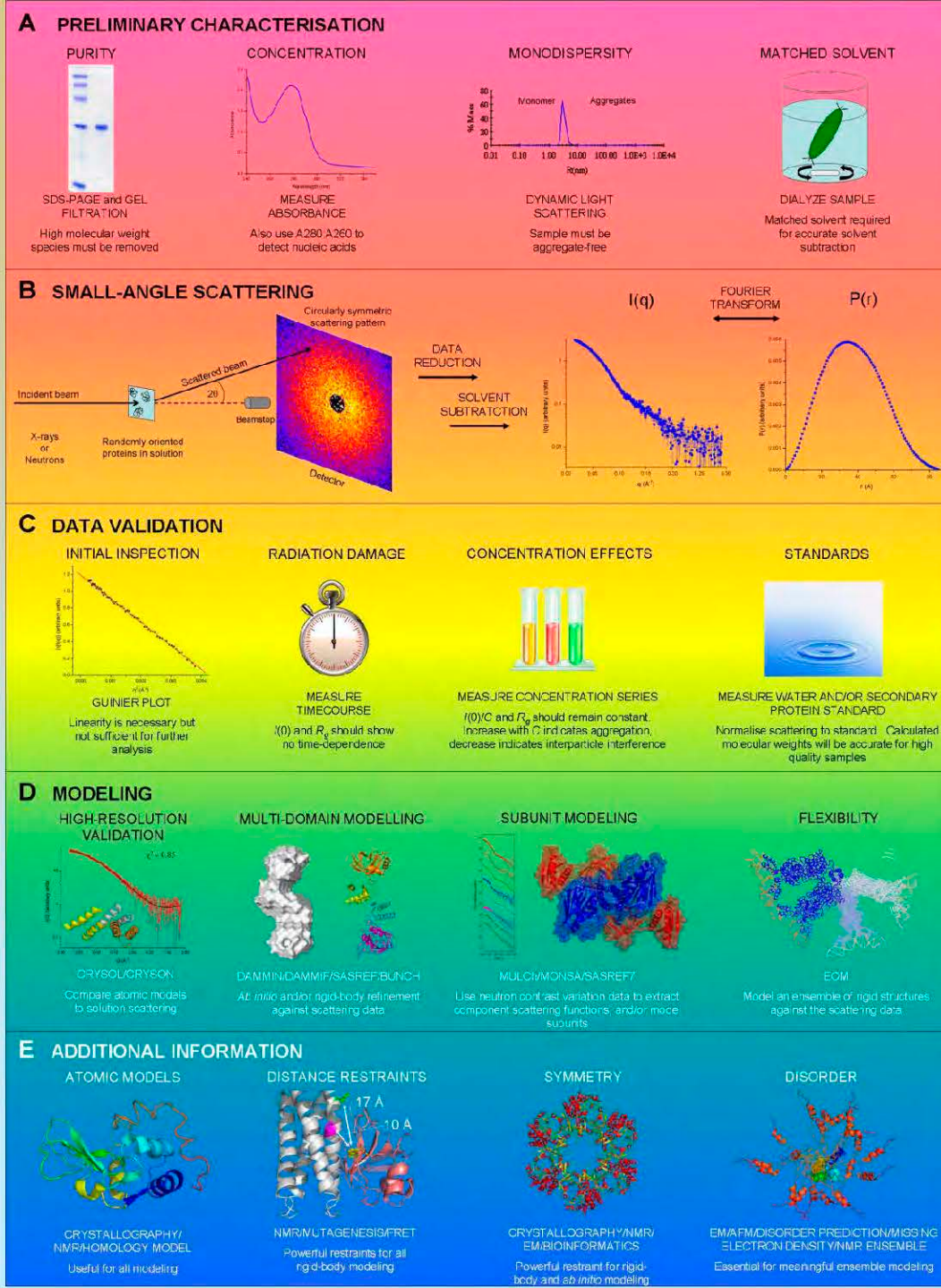


# Outline of ATSAS





# Общая схема интерпретации данных малоуглового эксперимента от растворов белковых структур



Jacques & Trewella (2010)  
 "Small-angle Scattering for Structural Biology;  
 Expanding the Frontier While Avoiding the Pitfalls,"  
*Protein Science* 19, 642-657

**Метод малоуглового рассеяния наиболее эффективен в сочетании с другими методами исследования структуры и обладает уникальными возможностями**

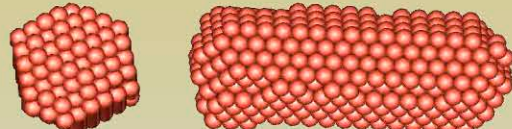
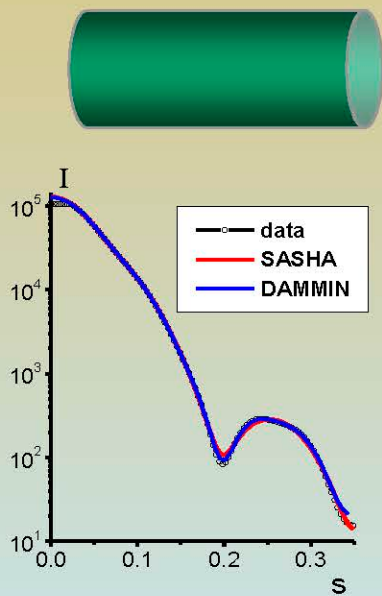


\*Слайды с пометкой  взяты и адаптированы из  
презентаций сотрудников группы Д.И. Свергуна  
(EMBL c/o DESY, Гамбург)

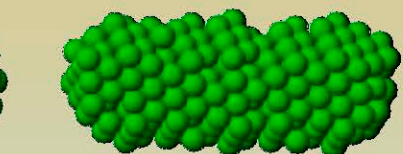
**Благодарю за внимание!**

# Stable solutions

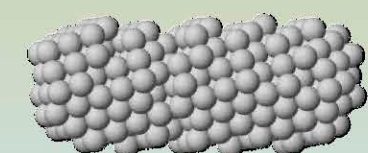
## cylinder 2:5



Spread  
region

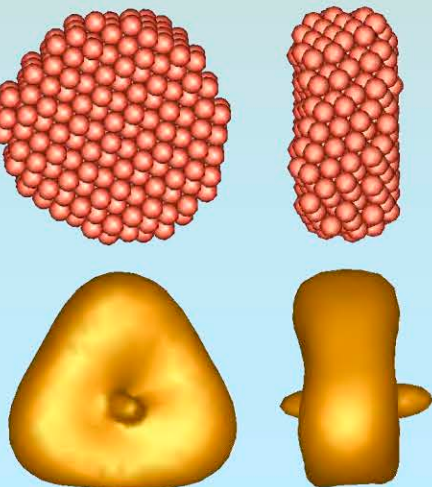
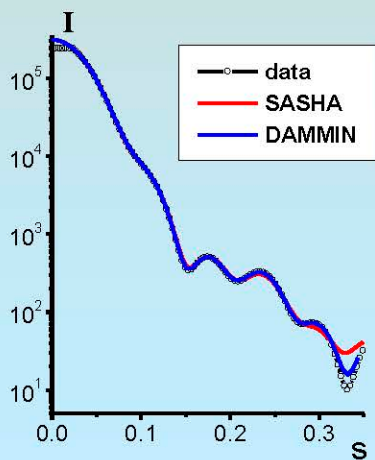


Most  
probable  
volume

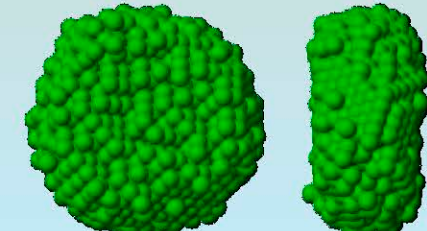


Average NSD  $\approx 0.5$

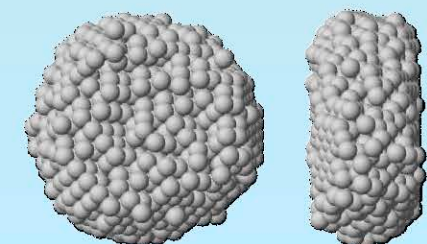
## cylinder 5:2



Spread  
region

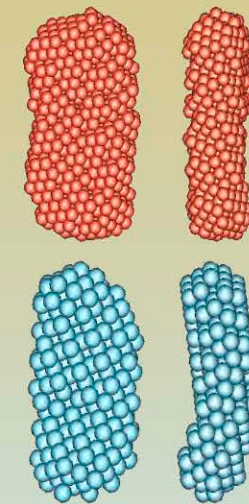
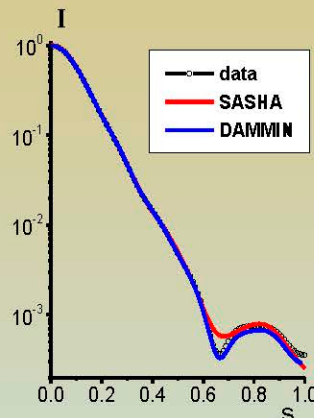
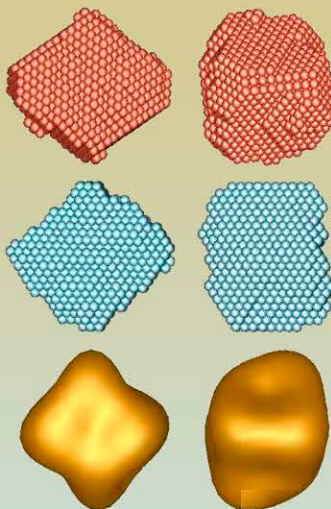
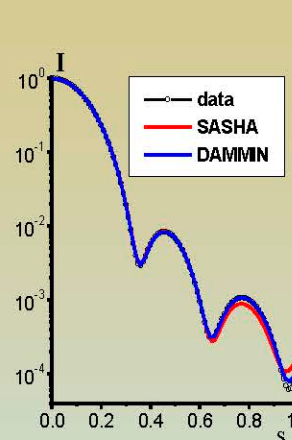


Most  
probable  
volume



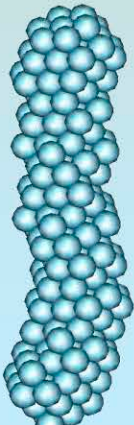
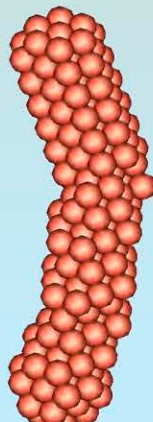
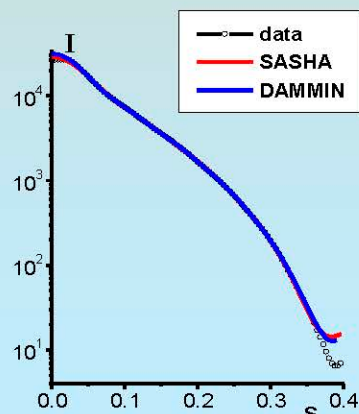
# Stable solutions

**cube**

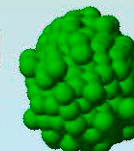


**Prism 1:2:4**

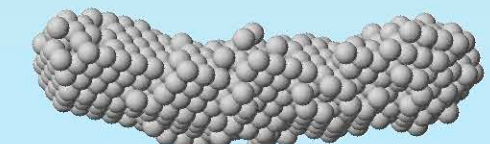
**cylinder 2:5**



**Spread region**

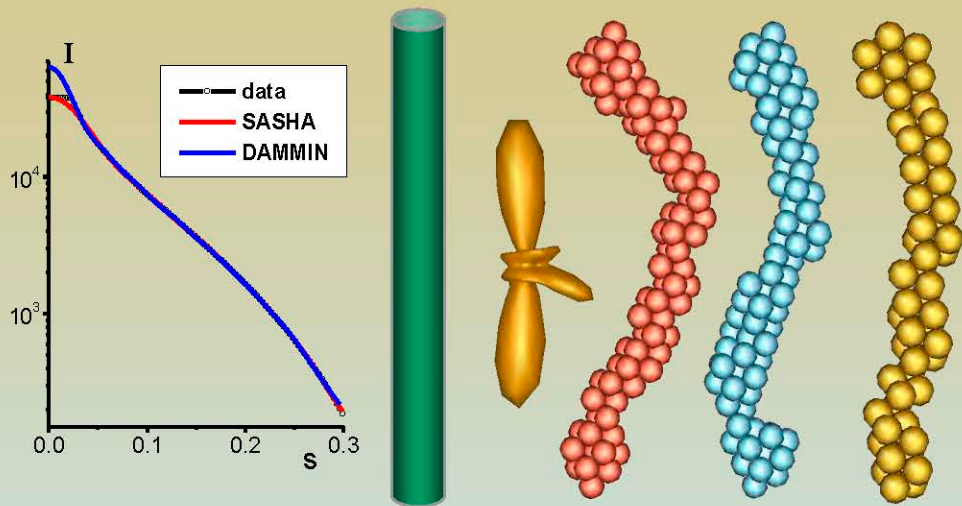


**Most probable volume**



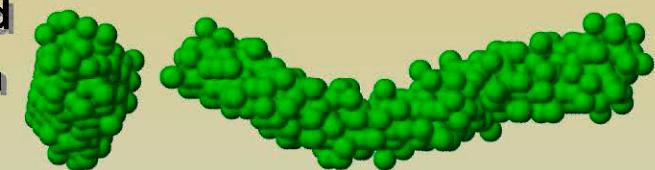
**Average NSD  $\approx 0.5$**

## cylinder 1:10

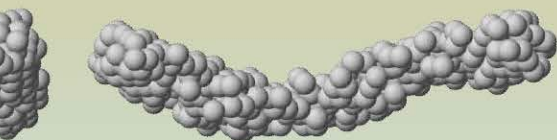


## Fair stability

Spread  
region

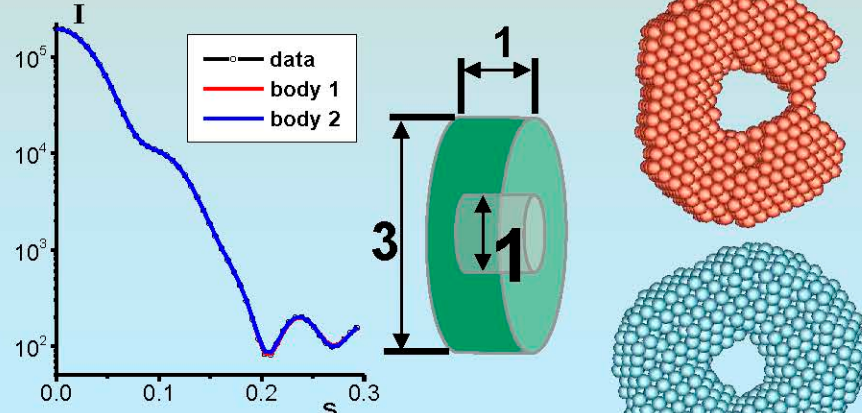


Most  
probable  
volume

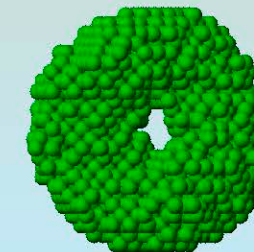


Average NSD  $\approx 0.9$

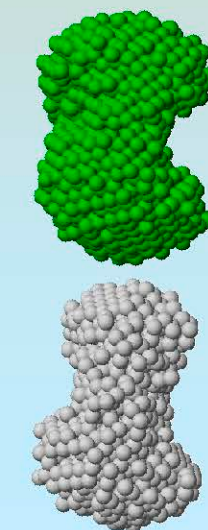
## Ring 1:3:1



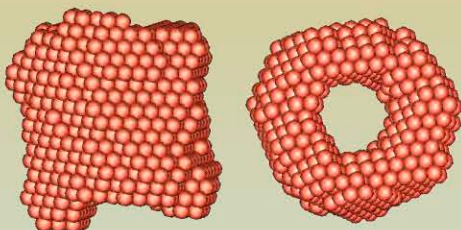
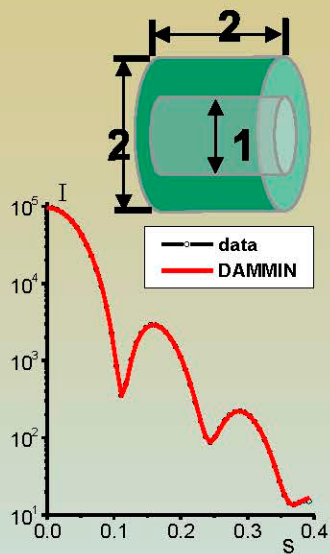
Spread  
region



Most  
probable  
volume

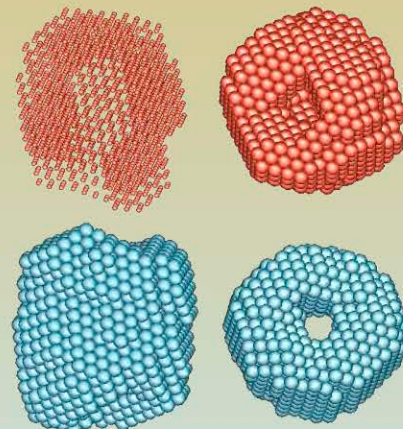
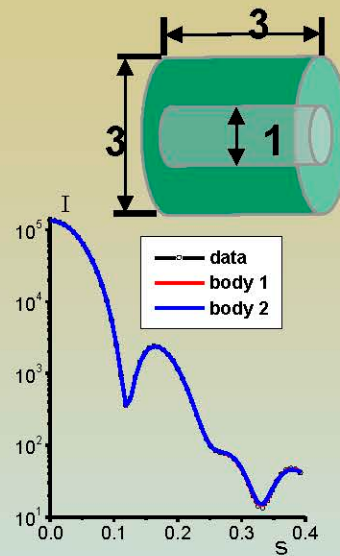


## Tube 1:2:2

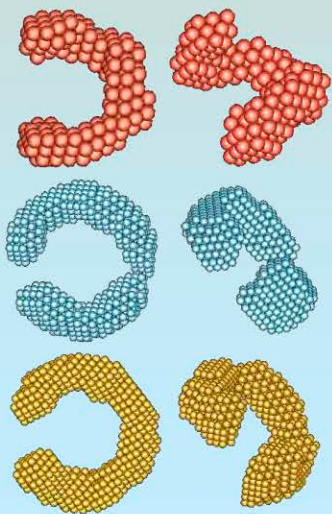
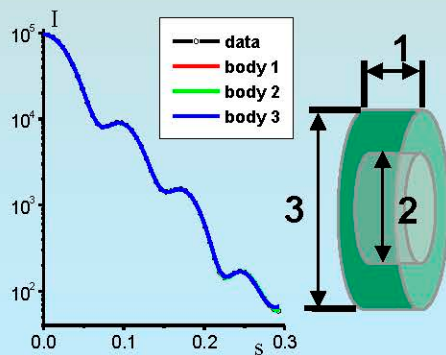


## Fair stability

### Tube 1:3:3

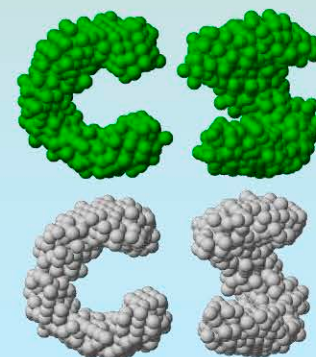


## ring 1:3:2



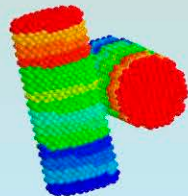
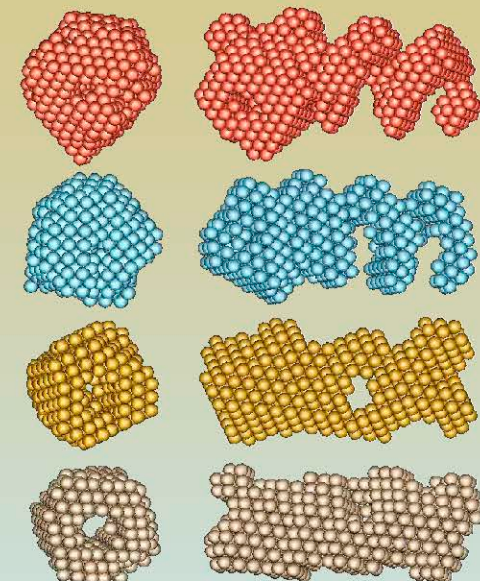
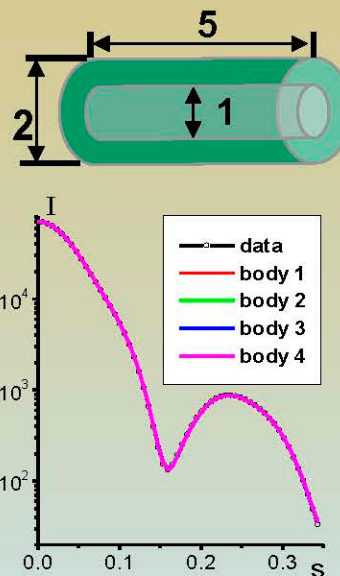
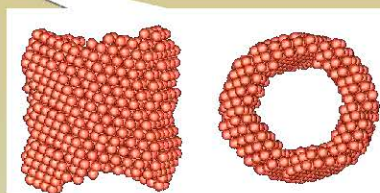
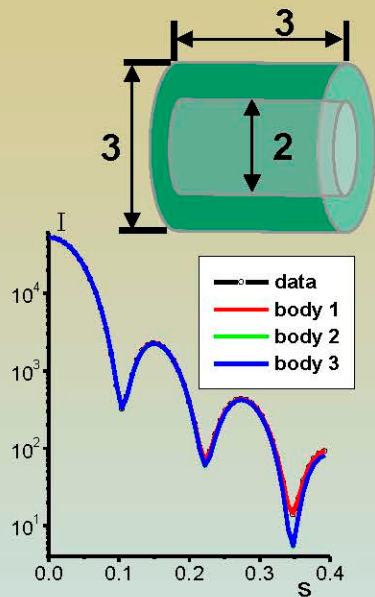
Average NSD  $\approx 1.0$

Spread region  
Most probable volume

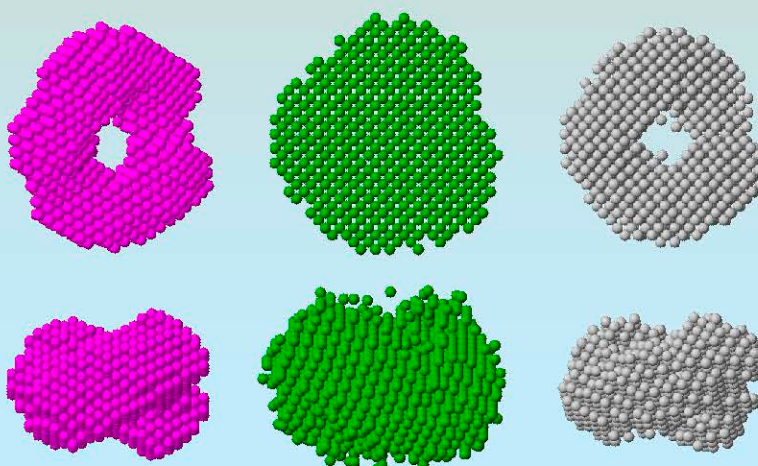


# Fair stability

Very long search may provide more accurate model



This structure can not be restored without use of additional information

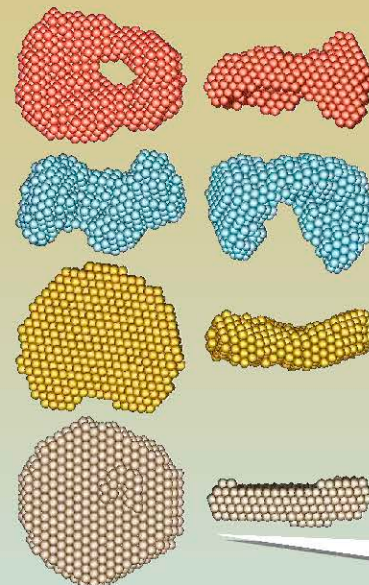
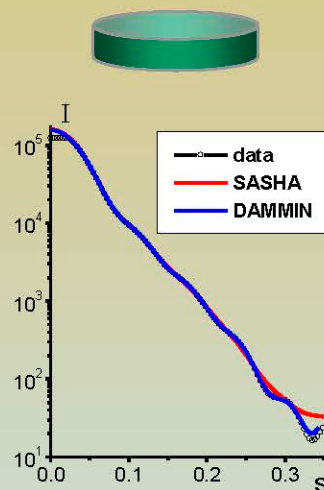


Spread region

Most probable volume

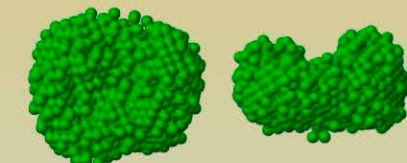
Average NSD  $\approx 1.0$

## Disk 5:1

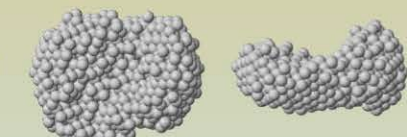


## Poor stability

Spread region

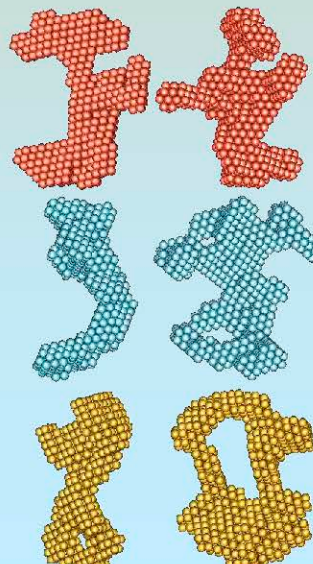
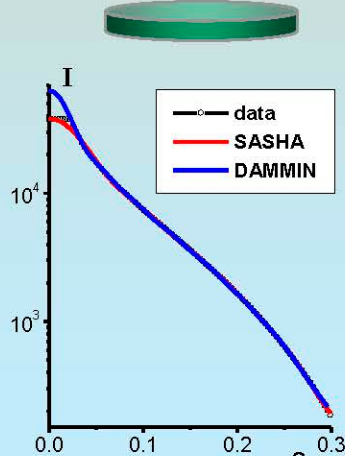


Most probable volume

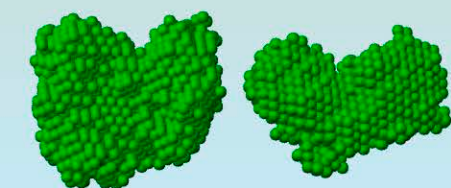


Very long search may provide more accurate model

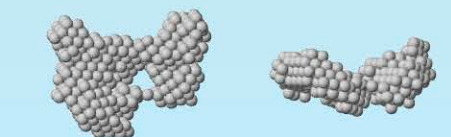
## Disk 10:1



Spread region



Most probable volume

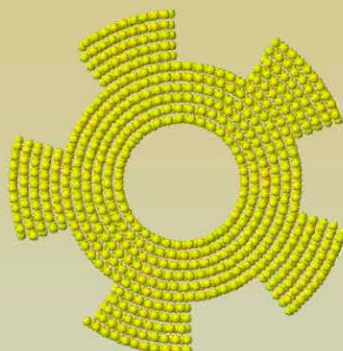


Average NSD >1.0

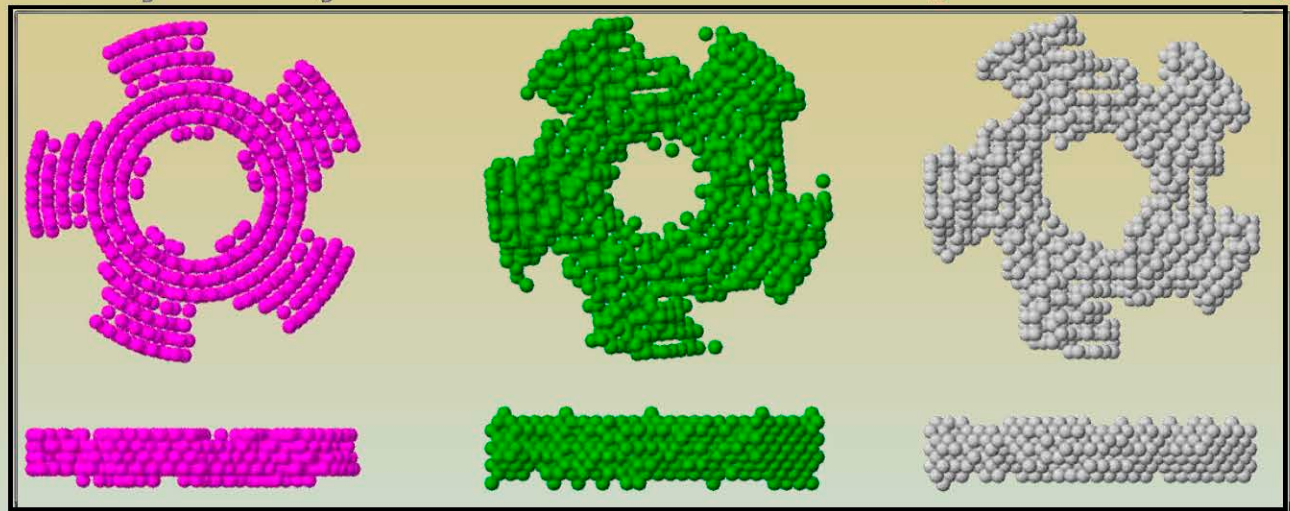
This structure can not be restored without use of additional information

# Use of symmetry

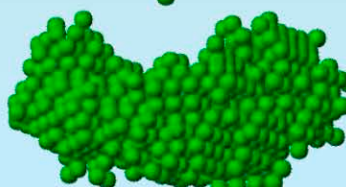
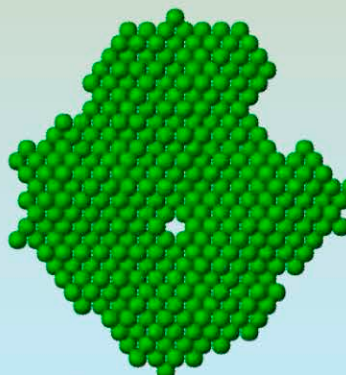
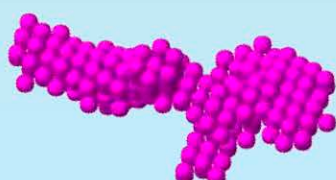
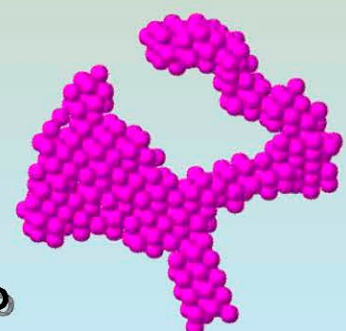
Typical solution with  
P5 symmetry



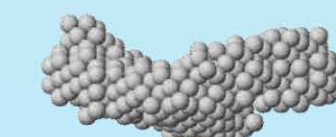
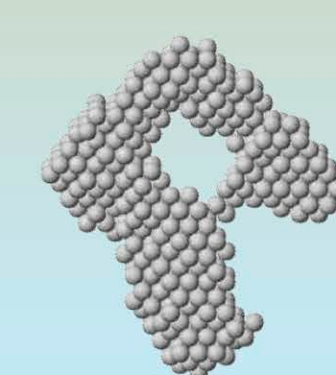
Original body



Typical solution with no  
symmetry



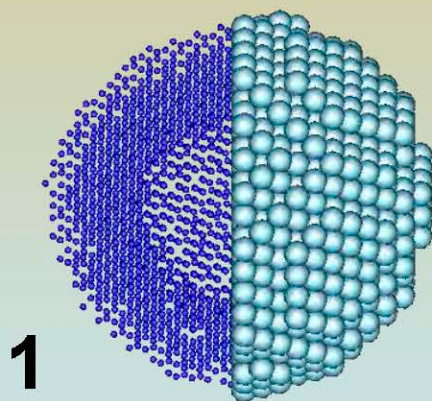
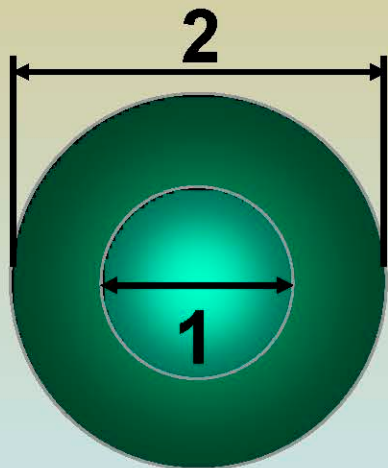
Spread region



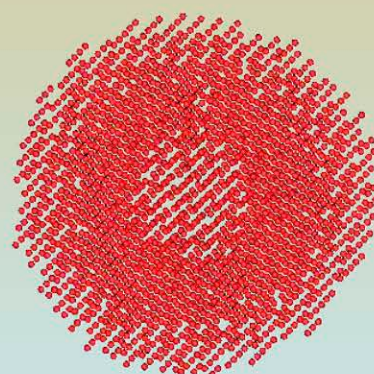
Most probable volume

# Hollow spheres

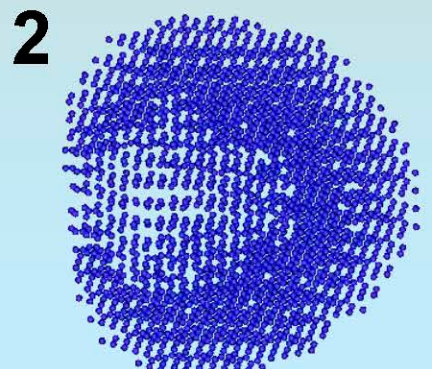
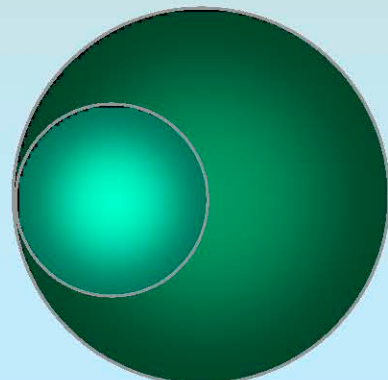
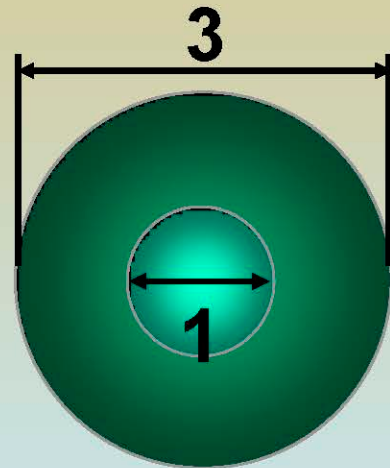
Coaxial cavities are restored with more stability than the shifted ones...



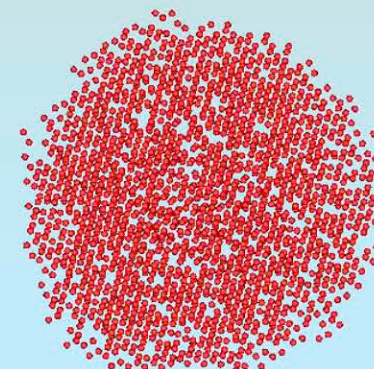
1



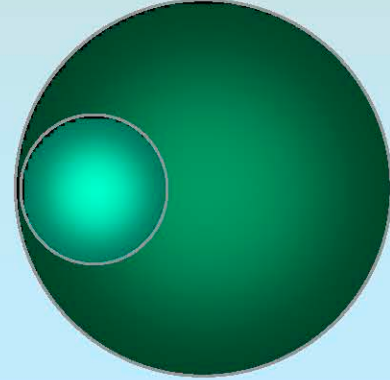
3



2



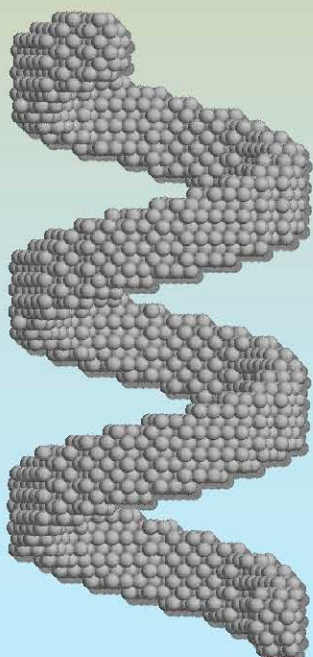
4



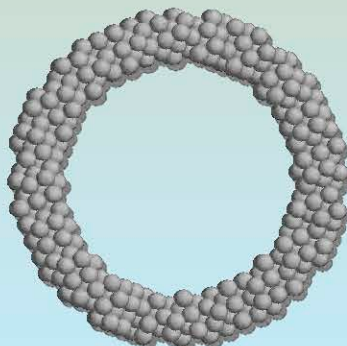
# Now consider *ab initio* restoration of complex structures.

We will try to restore helix particles from simulated SAS data calculated on different angular ranges from two helicoidal bodies of the same length and diameter:

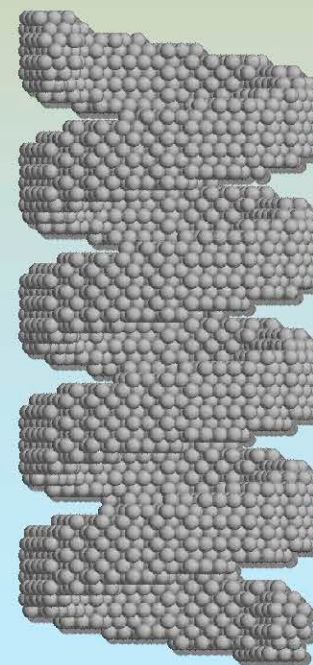
Here, the inner structure seems to be more pronounced than for the 4.5-turns model on the right



2.5-turns



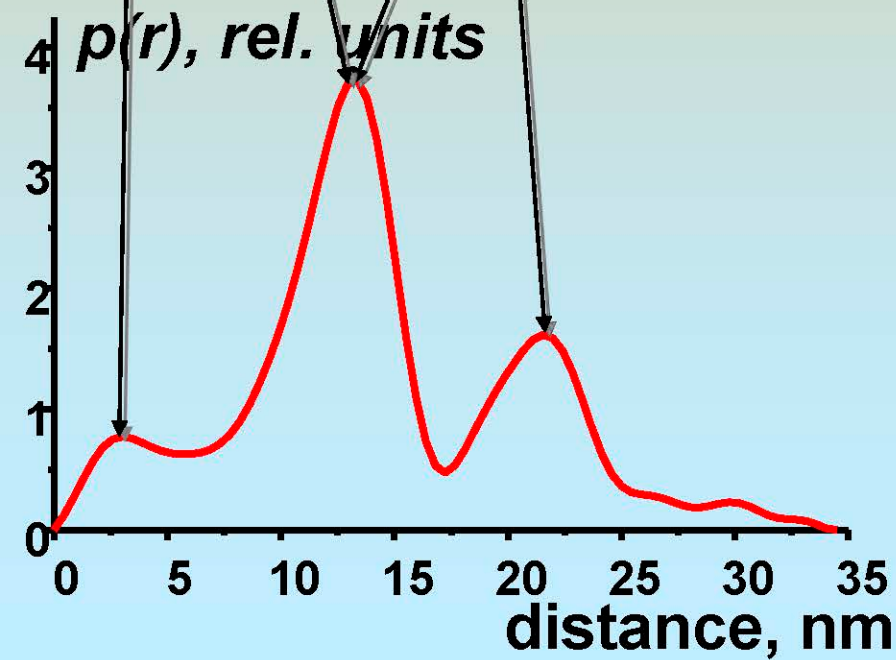
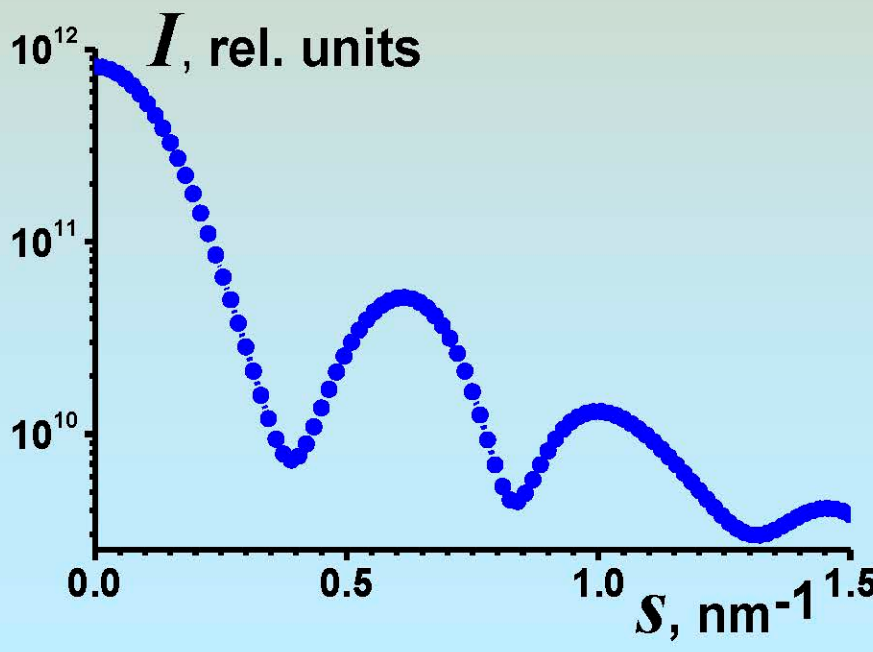
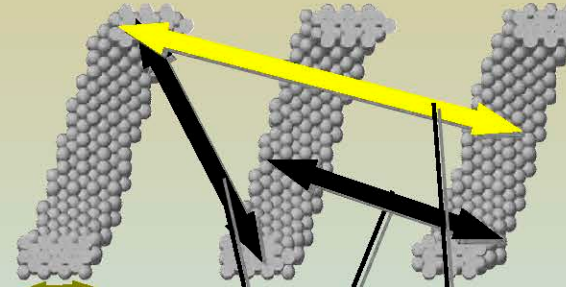
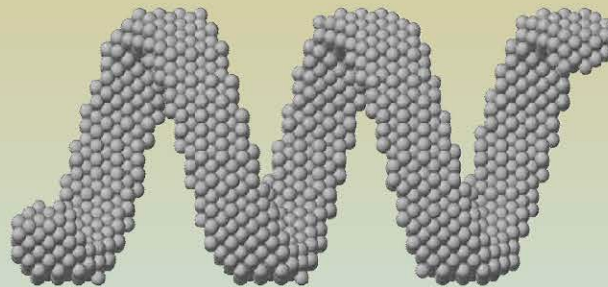
4.5-turns



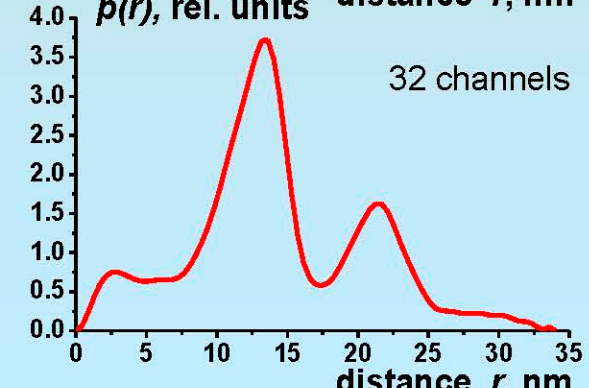
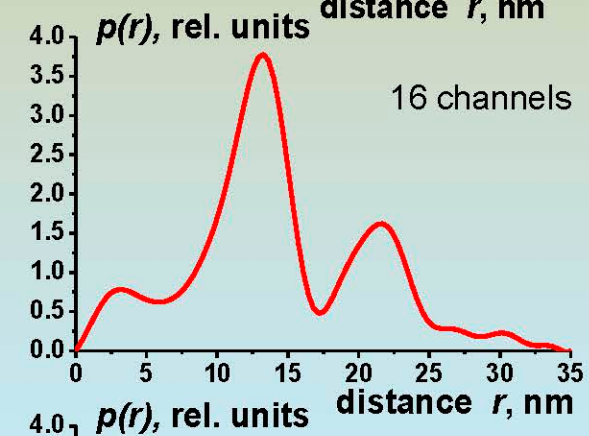
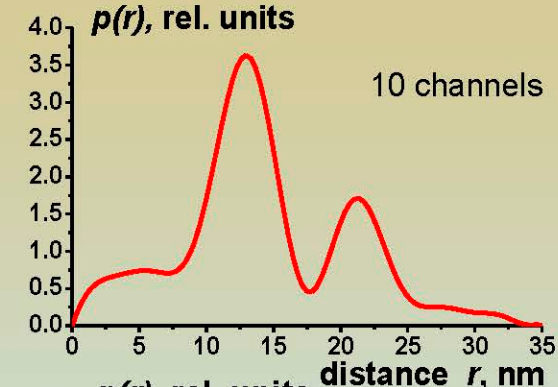
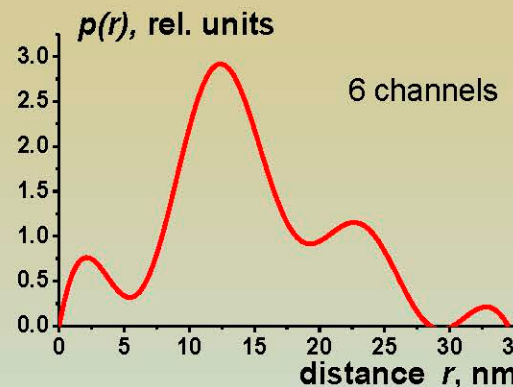
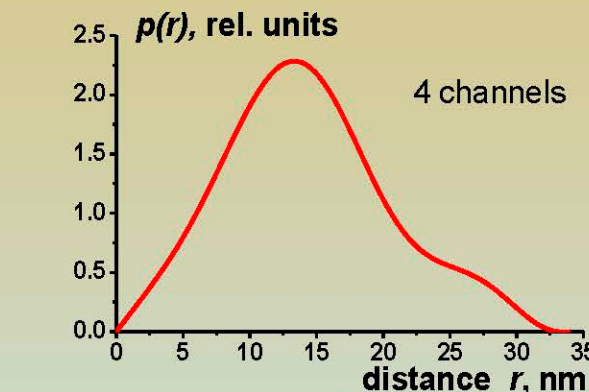
This model is expected to be too complex to be restored...  
OK, we will try and see what happen

# Complex particle: 2.5-turns helix

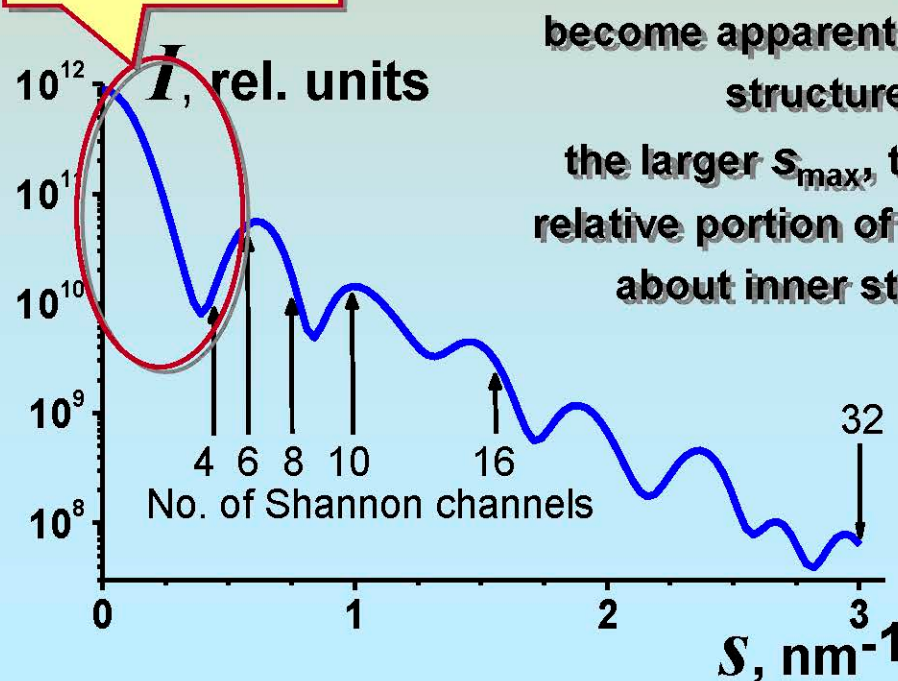
How to see the frequently occurring distances



# Dependence of $p(r)$ calculated from SAS patterns from $s_{\max}$



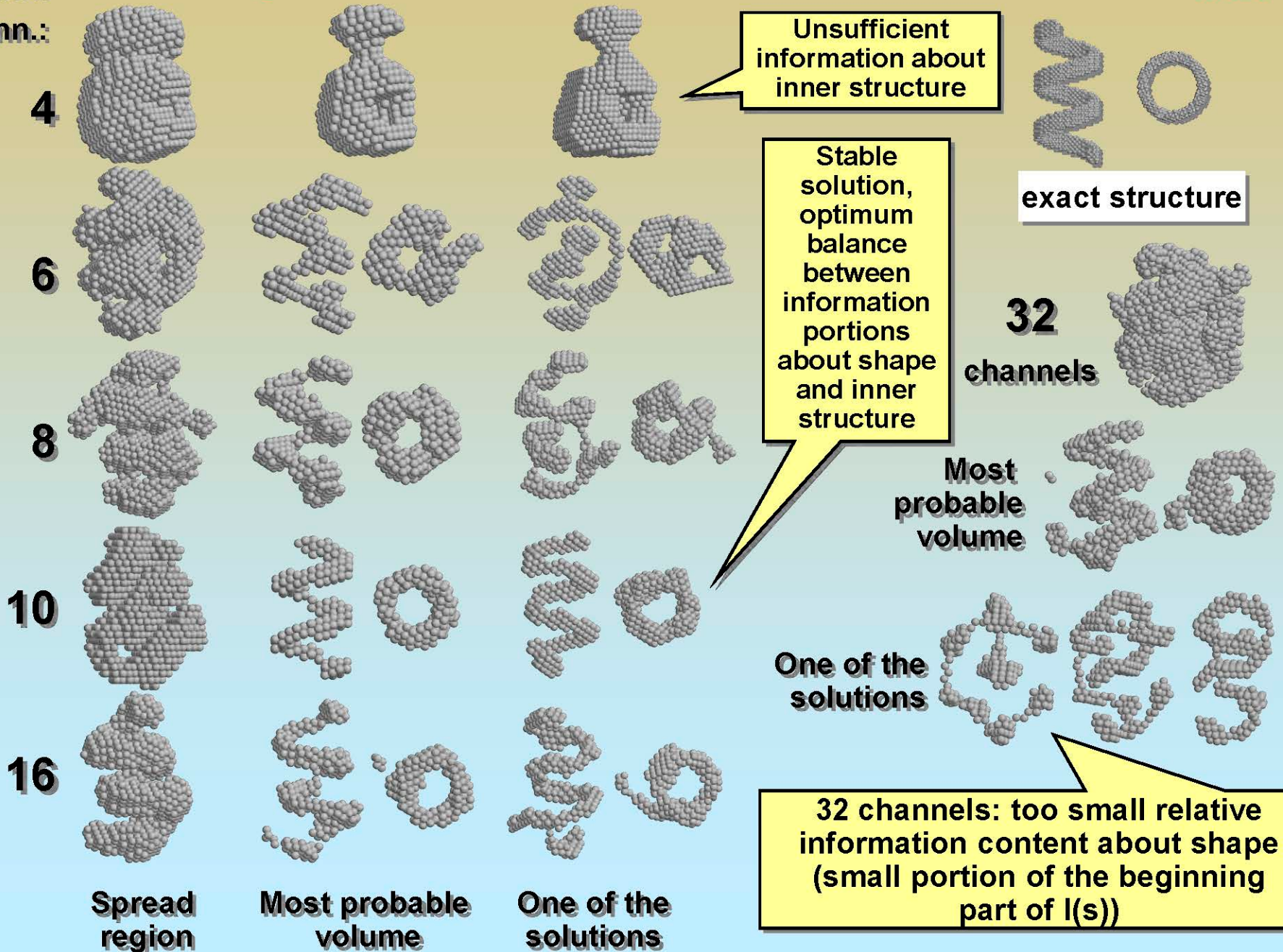
Scattering from particle shape



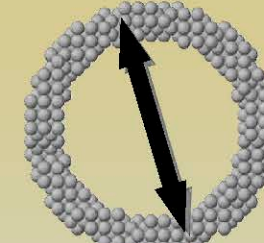
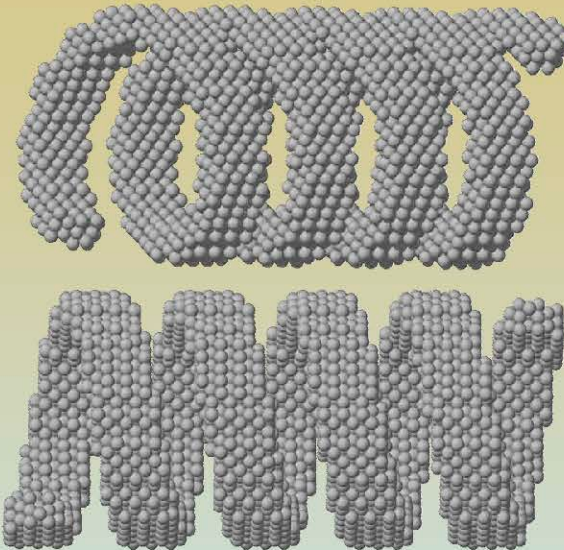
The difference in  $p(r)$  should become apparent in restored structures:  
the larger  $s_{\max}$ , the greater relative portion of information about inner structure.

No. of  
Shann.  
chann.:

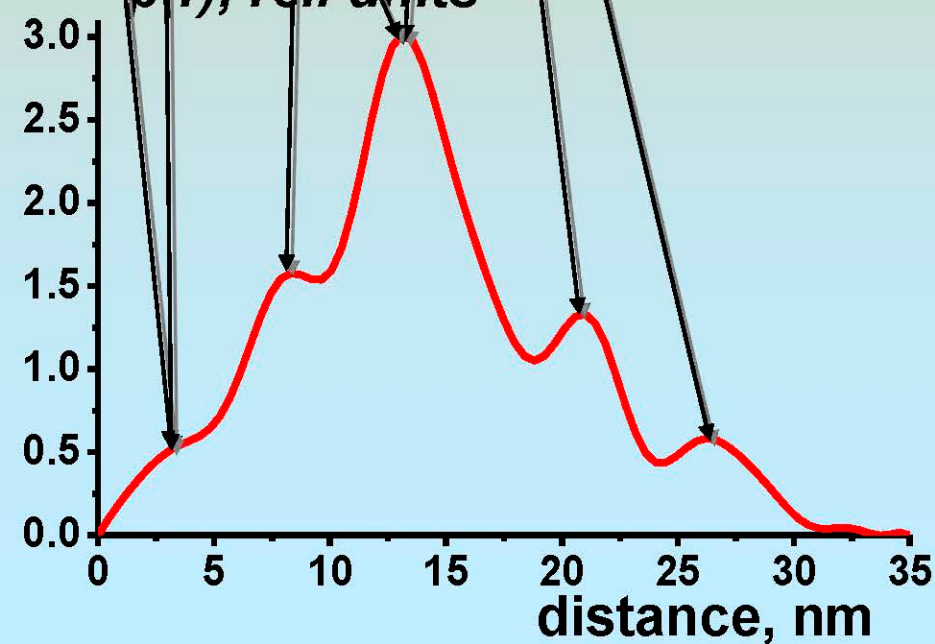
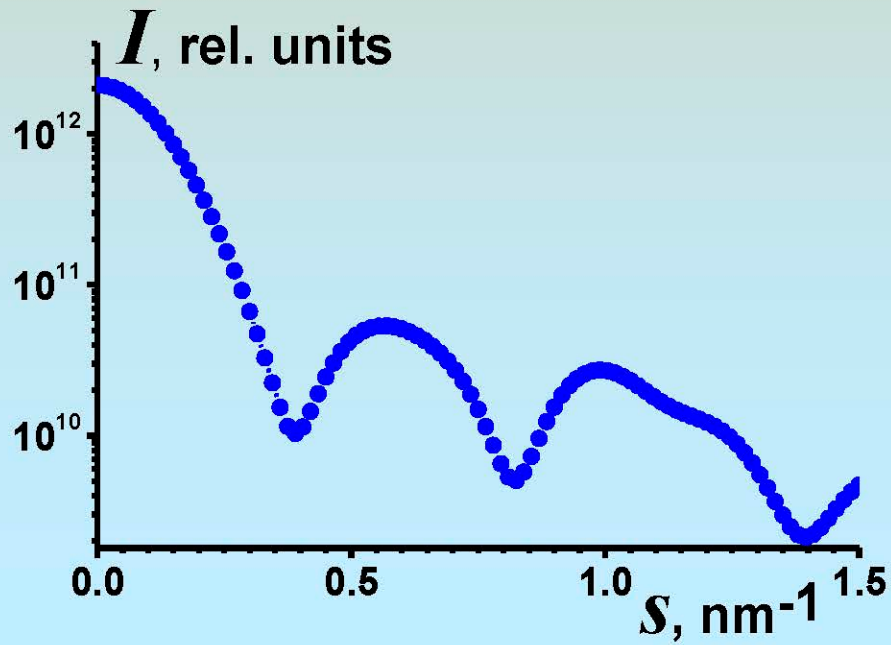
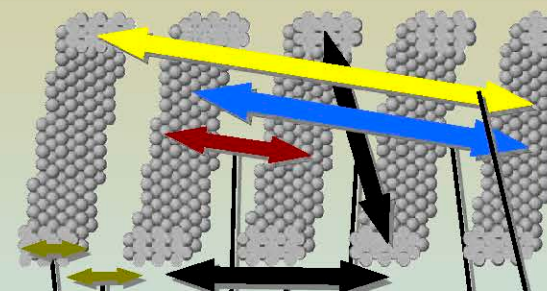
# Dependence of structure details from $s_{\max}$



# Complex particle: 4.5-turns helix



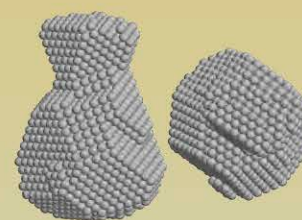
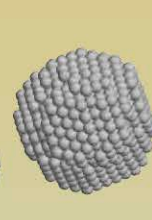
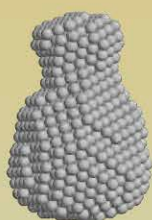
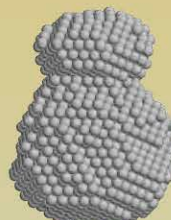
See the frequently occurring distances



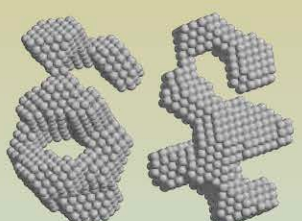
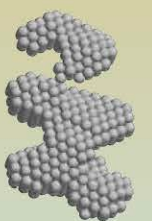
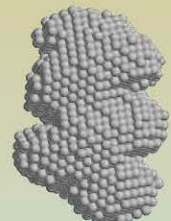
No. of  
Shann.  
chann.:

# Dependence of structure details from $s_{\max}$ , 4.5 turn helix

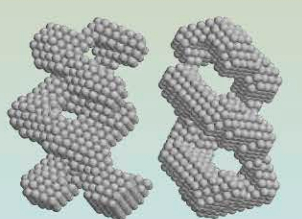
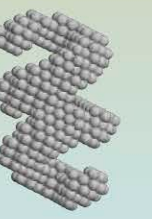
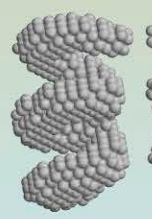
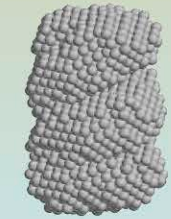
4



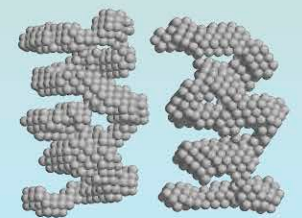
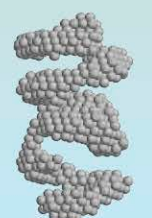
6



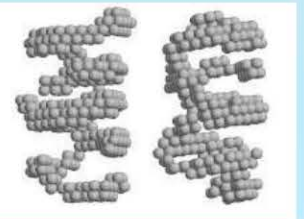
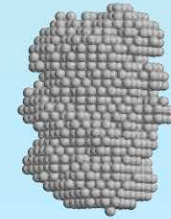
8



10



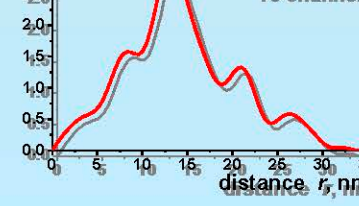
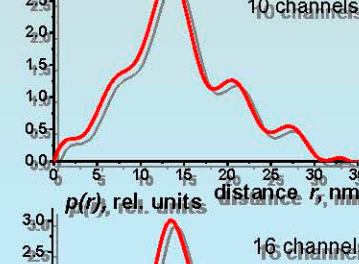
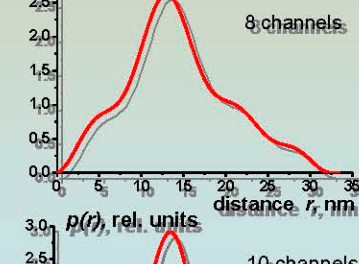
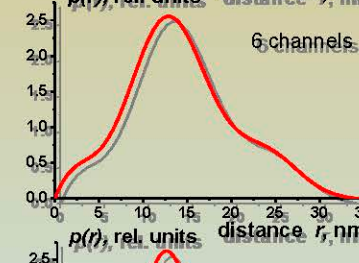
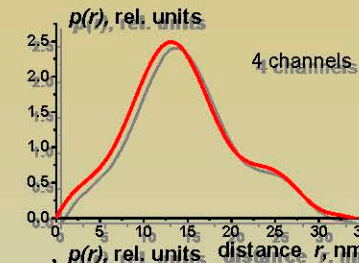
16



Spread  
region

Most probable  
volume

One of the  
solutions



Distance distribution

Unsufficient  
information about  
inner details

Still unsufficient  
information about  
inner details

Tries to restore  
helix but with  
wrong number of  
turns

The structure  
seems to be too  
difficult for  
retoration, but its  
feature is clear.

Increasing data  
interval has no  
effect